

УДК 539.375

**КОЭФФИЦЕНТЫ ИНТЕНСИВНОСТИ НАПРЯЖЕНИЙ У КОНЦОВ  
ДВУХ КОЛЛИНЕАРНЫХ ТРЕЩИН НОРМАЛЬНОГО ОТРЫВА  
ПРИ УСТАНОВИВШИХСЯ КОЛЕБАНИЯХ**

БОРОДАЧЕВ Н. М., КОЛЬЦОВ В. А.

Рассматривается бесконечная упругая изотропная плоскость, содержащая два коллинеарных разреза (трещины) одинаковой длины. К берегам трещин приложена распределенная нормальная нагрузка  $p(x) + s(x)e^{i\omega t}$  (где  $\omega$  — круговая частота гармонических колебаний,  $t$  — время), причем  $p(x) > s(x)$ . Предполагается, что берега трещин не контактируют. Такую задачу можно свести к рассмотрению двух задач: статической задачи теории упругости для плоскости с прямолинейными разрезами и динамической задачи об установившихся периодических колебаниях плоскости с разрезами под действием нагрузки  $s(x)e^{i\omega t}$ . Решение первоначальной задачи получится наложением решений этих задач. Обзор соответствующих статических решений можно найти, например, в [1]. Динамические задачи в случае одной трещины нормального отрыва рассматривались в [2–5].

Решение динамической задачи для двух трещин продольного сдвига приведено в [6, 7]. Ниже рассматривается динамическая задача для двух трещин нормального отрыва. Получены зависимости коэффициентов интенсивности напряжений у внешних и внутренних концов трещин от параметра, учитывающего частоту нагружения, длину трещин и упругие характеристики материала, для различных форм распределения нагрузки по длине трещин.

1. В прямоугольных координатах  $x, y$  положение трещин характеризуется условиями  $y=0$ ,  $a \leq |x| \leq b$  (фиг. 1). Полагаем, что объемные силы отсутствуют. Предполагается также наличие симметрии относительно осей  $x$  и  $y$ . В процессе решения необходимо удовлетворить условиям излучения и смешанным граничным условиям при  $y=0$ :

$$\sigma_y^*(x, 0) = -\sigma_0 s(x) \quad (a < |x| < b), \quad (1.1)$$

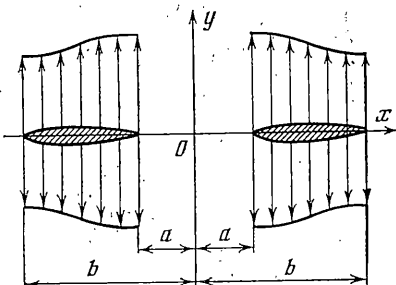
$$v^*(x, 0) = 0 \quad (|x| < a, |x| > b)$$

$$\tau_{xy}^*(x, 0) = 0 \quad (-\infty < x < \infty),$$

$$\sigma_y(x, y, t) = \sigma_y^*(x, y) e^{i\omega t}$$

$$v(x, y, t) = v^*(x, y) e^{i\omega t},$$

$$\tau_{xy}(x, y, t) = \tau_{xy}^*(x, y) e^{i\omega t}$$



Фиг. 1

Применяя к уравнениям движения упругой изотропной среды интегральное преобразование Фурье и удовлетворяя третьему граничному условию (1.1), находим (в случае плоской деформации):

$$\sigma_y^*(x, y) = \frac{\mu}{m^2} \frac{1}{(2\pi)^{1/2}} \int_{-\infty}^{\infty} \left[ \frac{(2\alpha^2 - m^2)^2 e^{-k_2 y}}{k_2} - 4\alpha^2 k_1 e^{-k_1 y} \right] V^*(\alpha, 0) e^{-i\alpha x} d\alpha \quad (1.2)$$

$$V^*(\alpha, y) = \frac{1}{(2\pi)^{\frac{1}{2}}} \int_{-\infty}^{\infty} v^*(x, y) e^{-i\alpha x} dx, \quad k_1 = (\alpha^2 - m^2)^{\frac{1}{2}}$$

$$k_2 = (\alpha^2 - \varepsilon^2 m^2)^{\frac{1}{2}}, \quad m = \omega \left( \frac{\rho}{\mu} \right)^{\frac{1}{2}}, \quad \varepsilon = \left( \frac{\mu}{\lambda + 2\mu} \right)^{\frac{1}{2}}$$

где  $\lambda, \mu$  — упругие постоянные Ламе,  $\rho$  — плотность среды.

Все результаты, приведенные в цитируемой работе, будут справедливы также и в случае плоского напряженного состояния, если вместо постоянной  $\lambda$  использовать постоянную  $\lambda_0 = 2\lambda\mu/(\lambda + 2\mu)$ .

Применяя к (4.2) теорему о свертках для преобразования Фурье и учитывая симметрию рассматриваемой задачи относительно оси  $y$ , получаем

$$\sigma_y^*(x, y) = \frac{\mu}{(2\pi)^{\frac{1}{2}}} \int_{-\infty}^{\infty} f(x - \xi) v^*(\xi, 0) d\xi \quad (1.3)$$

$$f(x) = \left( \frac{2}{\pi} \right)^{\frac{1}{2}} \left[ \frac{4}{m^2} D_4 - 4D_2 + m^2 D_0 - \frac{4}{m^2} E_4 + 4E_2 \right] \quad (1.4)$$

$$E_i = \int_0^\infty \frac{\alpha^i e^{-k_1 y}}{k_1} \cos x\alpha d\alpha, \quad D_i = \int_0^\infty \frac{\alpha^i e^{-k_2 y}}{k_2} \cos x\alpha d\alpha$$

Вычислим интегралы, входящие в (1.4). При этом следует иметь в виду неоднозначность функций  $k_1$  и  $k_2$ . Используя условие симметрии относительно оси  $x$ , ограничимся рассмотрением полуплоскости  $y > 0$ . Учитывая ограничения, накладываемые условиями излучения, выбираем знаки корней следующим образом:

$$\begin{aligned} k_1 &= |\sqrt{\alpha^2 - m^2}| \quad (\alpha > m), \quad k_1 = i|\sqrt{m^2 - \alpha^2}| \quad (\alpha < m) \\ k_2 &= |\sqrt{\alpha^2 - \varepsilon^2 m^2}| \quad (\alpha > \varepsilon m), \quad k_2 = i|\sqrt{\varepsilon^2 m^2 - \alpha^2}| \quad (\alpha < \varepsilon m) \end{aligned} \quad (1.5)$$

Известно [8], что

$$\int_0^\infty \frac{\exp[-y(\alpha^2 + \beta^2)^{\frac{1}{2}}]}{(\alpha^2 + \beta^2)^{\frac{1}{2}}} \cos x\alpha d\alpha = K_0[\beta(y^2 + x^2)^{\frac{1}{2}}] \quad (\operatorname{Re} \beta > 0, \operatorname{Re} y > 0) \quad (1.6)$$

где  $K_0(z)$  — модифицированная функция Бесселя второго рода.

Обозначим  $\beta_1 = im$ ,  $\beta_2 = i\varepsilon m$ . Тогда

$$E_i = \int_0^\infty \frac{\alpha^i \exp[-y(\alpha^2 + \beta_1^2)^{\frac{1}{2}}]}{(\alpha^2 + \beta_1^2)^{\frac{1}{2}}} \cos x\alpha d\alpha, \quad (1.7)$$

$$D_i = \int_0^\infty \frac{\alpha^i \exp[-y(\alpha^2 + \beta_2^2)^{\frac{1}{2}}]}{(\alpha^2 + \beta_2^2)^{\frac{1}{2}}} \cos x\alpha d\alpha$$

Чтобы воспользоваться формулой (1.6), применим прием, основанный на введении малого затухания в среду. При этом величины  $m$  и  $\varepsilon m$  становятся комплексными. При временной зависимости  $e^{i\omega t}$  будем иметь  $m = m_R - im_I$ ,  $\varepsilon m = \varepsilon(m_R - im_I)$ . Следовательно,  $\beta_1 = m_I + im_R$ ,  $\beta_2 = \varepsilon(m_I + im_R)$ . Таким образом,  $\operatorname{Re} \beta_1 > 0$  и  $\operatorname{Re} \beta_2 > 0$ , что удовлетворяет ограничениям в (1.6).

Более подробно вопросы, связанные с введением малого затухания в идеально упругую среду и с неоднозначностью функций типа  $k_1$  и  $k_2$ , освещены, например, в [9, 10].

Используя значение интеграла (1.6) и рекуррентную формулу для косинус-преобразования Фурье [8], получим выражения для искомых интегралов

$$\begin{aligned} E_0 &= K_0[\beta_1(y^2+x^2)^{\frac{1}{2}}] \\ E_2 &= \beta_1 \frac{y^2-x^2}{(y^2+x^2)^{\frac{1}{2}}} K_1[\beta_1(y^2+x^2)^{\frac{1}{2}}] - \beta_1^2 \frac{x^2}{y^2+x^2} K_0[\beta_1(y^2+x^2)^{\frac{1}{2}}] \\ E_4 &= K_0[\beta_1(y^2+x^2)^{\frac{1}{2}}] \left\{ \beta_1^4 \frac{x^4}{(y^2+x^2)^2} + \beta_1^2 \frac{3x^4-18x^2y^2+3y^4}{(y^2+x^2)^3} \right\} + \\ &\quad + K_1[\beta_1(y^2+x^2)^{\frac{1}{2}}] \left\{ \beta_1^3 \frac{2x^4-6x^2y^2}{(y^2+x^2)^{\frac{5}{2}}} + \beta_1 \frac{6x^4-36x^2y^2+6y^4}{(y^2+x^2)^{\frac{7}{2}}} \right\} \end{aligned} \quad (1.8)$$

Если в интегралах  $E_i$  (1.8) величину  $\beta_1$  заменить на  $\beta_2$ , получим значения соответствующих интегралов  $D_i$ .

Устремляя в (1.3)  $y$  к нулю и удовлетворяя первому и второму условиям (1.1), приходим к сингулярному интегральному уравнению первого рода для комплексной амплитуды перемещения берегов трещин

$$\begin{aligned} -\frac{\sigma_0 s(x_1) b}{\mu} &= \int_{-1}^x F(x_1-\xi_1) v^*(\xi_1, 0) d\xi_1 + \int_x^1 F(x_1-\xi_1) v^*(\xi_1, 0) d\xi_1 \\ F(x_1) &= [4(D_4-E_4)/q^2 - 4(D_2-E_2) + q^2 D_0]/\pi \quad (1.9) \\ x_1 &= x/b, \quad \xi_1 = \xi/b, \quad q = mb, \quad \pi = a/b \end{aligned}$$

Используя известные соотношения  $K_v(z) = -\frac{1}{2}\pi i e^{-\frac{1}{2}\pi v i} H_v^{(2)}(ze^{-\frac{1}{2}\pi v i})$  ( $-\pi/2 < \arg z \leq \pi$ ), ядро уравнения (1.9) представим в виде

$$\begin{aligned} F(x_1) &= i \left\{ H_0^{(2)}(q|x_1|) \left[ -\frac{6}{x_1^2} \right] + H_1^{(2)}(q|x_1|) \left[ \frac{12}{q|x_1^3|} - \frac{2q}{|x_1|} \right] + \right. \\ &\quad + H_0^{(2)}(\epsilon q|x_1|) \left[ 6 \frac{\epsilon^2}{x_1^2} + q^2 \left( -2\epsilon^4 + 2\epsilon^2 - \frac{1}{2} \right) \right] + \\ &\quad \left. + H_1^{(2)}(\epsilon q|x_1|) \left[ \frac{2\epsilon q}{|x_1|} (2\epsilon^2 - 1) - \frac{12\epsilon}{q|x_1^3|} \right] \right\} \end{aligned} \quad (1.10)$$

где  $H_v^{(2)}(z)$  — функция Ханкеля второго рода.

2. Рассмотрим вопросы, связанные с решением интегрального уравнения (1.9).

Выделяя из ядра (1.10) сингулярную часть, преобразуем уравнение (1.9) к виду

$$Lv^* + \int_{-1}^x F_1(x_1-\xi_1) v^*(\xi_1, 0) d\xi_1 + \int_x^1 F_1(x_1-\xi_1) v^*(\xi_1, 0) d\xi_1 = \frac{\sigma_0 s(x_1) b}{\mu} \quad (2.1)$$

$$Lv^* = \frac{2(1-\epsilon^2)}{\pi} \left\{ \int_{-1}^x \frac{\partial v^*(\xi_1, 0)}{\partial \xi_1} \frac{d\xi_1}{x_1-\xi_1} + \int_x^1 \frac{\partial v^*(\xi_1, 0)}{\partial \xi_1} \frac{d\xi_1}{x_1-\xi_1} \right\} \quad (2.2)$$

$$F_1(x_1) = \frac{2}{\pi} (1-\epsilon^2) \frac{1}{x_1^2} - F(x_1)$$

Интегралы в (2.2) понимаются в смысле главного значения по Коши.

Уравнение (2.1) решается с использованием метода моментов, подробное описание которого можно найти в [11]. Там же обсуждаются вопросы существования, единственности и сходимости решений интегральных уравнений первого рода, к которым сводятся задачи распространения электромагнитных волн, аналогичные, в математическом отношении, рассматриваемой здесь задаче. Метод заключается в сведении интегрального уравнения к матричному при помощи разложения неизвестной функции  $v^*(x_1, 0)$  в ряд по базисным функциям  $\varphi_n(x_1)$ . Чтобы обеспечить хорошую сходимость решения, следует рационально выбрать систему базисных функций, для чего необходимо знать характер поведения неизвестной функции  $v^*(x_1, 0)$  в окрестностях концов трещин, а также форму смешения берегов трещин при статическом приложении нагрузки.

Получим формулы для перемещения при статическом нагружении. В этом случае  $\omega=0$  и уравнение (2.1) приобретает вид

$$\frac{1}{\pi} \int_{-\infty}^{\infty} \Phi(\xi_1) \frac{d\xi_1}{\xi_1 - x_1} + \frac{1}{\pi} \int_{-\infty}^{\infty} \Phi(\xi_1) \frac{d\xi_1}{\xi_1 + x_1} = S(x_1) \quad (2.3)$$

$$\Phi(\xi_1) = \partial v(\xi_1, 0) / \partial \xi_1, \quad S(x_1) = -\sigma_0 s(x_1) b / [2(1-\varepsilon^2)\mu]$$

Производя замену переменных в (2.3), получим

$$\frac{1}{\pi} \int_{-\infty}^{\infty} \frac{\Phi(t)}{t - x_1^2} dt = S(x_1) \quad (2.4)$$

Согласно [12], неограниченное на обоих концах решение интегрального уравнения (2.4) имеет вид

$$\Phi(x_1) = -\frac{1}{(1-x_1^2)^{1/2} (x_1^2 - \kappa^2)^{1/2}} \left[ a_0 + \frac{1}{\pi} \int_{\kappa^2}^1 \frac{(t - \kappa^2)^{1/2} (1-t)^{1/2} S(t)}{t - x_1^2} dt \right] \quad (2.5)$$

где  $a_0$  — некоторая постоянная, определяемая из условия  $\int \Phi(x_1) dx_1 = 0$  (нижний предел интеграла  $\pm\infty$ , верхний  $\pm 1$ ), которое следует из того, что  $v(\pm\infty) = v(\pm 1) = 0$ .

Для вычисления интеграла в (2.5) используем выражения, приведенные в [13, 14]:

$$\begin{aligned} \frac{1}{\pi} \int_a^b (x-a)^{\rho-1} (b-x)^{\sigma-1} \frac{dx}{x-y} &= (y-a)^{\rho-1} (b-y)^{\sigma-1} \operatorname{ctg} \alpha\pi - \\ &- \frac{\Gamma(\rho) \Gamma(\sigma-1)}{\pi \Gamma(\rho+\sigma-1)} (b-a) {}_2F_1 \left( 2-\rho-\sigma, 1; 2-\sigma; \frac{b-y}{b-a} \right) \\ (\zeta = \rho + \sigma - 2, \quad a < y < b, \quad \operatorname{Re} \rho > 0, \quad \operatorname{Re} \sigma > 0) \end{aligned} \quad (2.6)$$

$${}_2F_1(-n, n; 1/2; x) = T_n(1-2x)$$

где  $\Gamma(x)$  — гамма-функция,  ${}_2F_1(a, b; c; z)$  — гипергеометрический ряд Гаусса,  $T_n(x)$  — многочлены Чебышева. В результате получим выражение для смешения берегов трещин при равномерно распределенной нагрузке ( $s(x_1) = 1$ ):

$$\begin{aligned} v(x_1, 0) &= \frac{\sigma_0 b}{2(1-\varepsilon^2)\mu} \left\{ \frac{(1-x_1^2)^{1/2} (x_1^2 - \kappa^2)^{1/2}}{|x_1|} + \frac{E(k)}{K(k)} F(\gamma, k) - E(\gamma, k) \right\} \\ k &= (1-\kappa^2)^{1/2}, \quad \gamma = \arcsin \left\{ \frac{1}{|x_1|} \left( \frac{x_1^2 - \kappa^2}{1 - \kappa^2} \right)^{1/2} \right\} \end{aligned} \quad (2.7)$$

где  $K(k)$  и  $E(k)$  — полные эллиптические интегралы,  $F(\gamma, k)$  и  $E(\gamma, k)$  — неполные эллиптические интегралы первого и второго рода.

При более сложных вариантах распределения нагрузки по длине трещин, когда выражение для  $s(x_1)$  содержит члены  $x_1^{2n}$ , сингулярный интеграл в (2.5) можно привести к такому же виду, как и в случае равномерно распределенной нагрузки, применяя  $n$  раз рекуррентную формулу для преобразований Гильберта [13]. Таким образом, например, была получена формула для перемещения при  $s(x_1)=x_1^2$ :

$$v(x_1, 0) = \frac{\sigma_0 b}{2(1-\varepsilon^2)\mu} \left\{ \frac{2x_1^2 + 1 + \kappa^2}{6|x_1|} (1-x_1^2)^{\frac{1}{2}} (x_1^2 - \kappa^2)^{\frac{1}{2}} + \right. \\ \left. + \frac{1+\kappa^2}{6} \left[ \frac{E(k)}{K(k)} F(\gamma, k) - E(\gamma, k) \right] \right\} \quad (2.8)$$

3. Получим асимптотические формулы для перемещения у концов трещин. Удовлетворяя первому и второму условиям (1.1), используя формулу (1.2) и учитывая симметрию относительно оси  $y$ , приходим к тройным интегральным уравнениям

$$\int_0^\infty \alpha^{\nu_2} V^*(\alpha, 0) J_{-\nu_2}(x\alpha) d\alpha = 0 \quad (0 < x < a) \\ \int_0^\infty \alpha^{\nu_2} N(\alpha) V^*(\alpha, 0) J_{-\nu_2}(x\alpha) d\alpha = -\frac{\sigma_0 s(x)}{\mu x^{\nu_2}} \quad (a < x < b) \\ \int_0^\infty \alpha^{\nu_2} V^*(\alpha, 0) J_{-\nu_2}(x\alpha) d\alpha = 0 \quad (b < x < \infty) \\ N(\alpha) = [(2\alpha^2 - m^2)^2/k_2 - 4\alpha^2 k_1]/m^2 \quad (3.1)$$

где  $J_\nu(x)$  — функция Бесселя первого рода.

Решения таких уравнений подробно описаны в [15].

Используя оператор Ханкеля

$$S_{n,\alpha} f(x) = 2^\alpha x^{-\alpha} \int_0^\infty t^{1-\alpha} J_{2n+\alpha}(xt) f(t) dt$$

уравнения (3.1) можно компактно записать так:

$$S_{\nu_2-1}[1+k(x)]\psi(x) = H(x), \quad S_{-\nu_2}\psi(x) = G(x) \quad (3.2)$$

$$k(x) = -\left[ 1 + \frac{N(\alpha)}{2(1-\varepsilon^2)|\alpha|} \right], \quad \psi(x) = \frac{V^*(x, 0)}{x^{\nu_2}}$$

$$H(x) = H_1(x) \quad (0 < x < a); \quad H(x) = H_2(x) \quad (a < x < b);$$

$$H(x) = H_3(x) \quad (b < x < \infty)$$

Аналогичное представление можно записать и для функции  $G(x)$ . Неизвестны  $H_1, G_2, H_3$ . Известны  $G_1 = G_3 = 0, H_2 = (1-\varepsilon^2)\mu x^{\nu_2}/(\sigma_0 s(x))$ .

С помощью так называемых пробных решений уравнения (3.2) сводятся к системе из двух интегральных уравнений или к одному интегральному уравнению Фредгольма второго рода, рассматривая которые можно получить асимптотические формулы для перемещения у концов трещин.

Используя пробное решение Снеддона  $\psi(x) = S_{-\gamma, \gamma} h(x)$ , определяем поведение функции  $v^*(x_1, 0)$  у внешних концов трещин

$$v^*(x_1, 0) = \left(\frac{2b}{\pi}\right)^{\frac{1}{2}} \frac{K_b^*}{2(1-\epsilon^2)\mu} (1-x_1)^{\frac{1}{2}} \quad (x_1 \rightarrow 1-0) \quad (3.3)$$

Используя пробное решение  $\psi(x) = S_{-\gamma, \gamma} h(x)$ , предложенное в [16], определяем поведение функции у внутренних концов трещин

$$v^*(x_1, 0) = \left(\frac{2b}{\pi}\right)^{\frac{1}{2}} \frac{K_a^*}{2(1-\epsilon^2)\mu} (x_1 - \kappa)^{\frac{1}{2}} \quad (x_1 \rightarrow \kappa+0) \quad (3.4)$$

В формулах (3.3) и (3.4)  $K_b^*$  и  $K_a^*$  — комплексные амплитуды коэффициентов интенсивности напряжений соответственно у внешних и внутренних концов трещин

$$K_b^* = \lim_{x \rightarrow b+0} [2\pi(x-b)]^{\frac{1}{2}} \sigma_y^*(x, 0), \quad K_a^* = \lim_{x \rightarrow a-0} [2\pi(a-x)]^{\frac{1}{2}} \sigma_y^*(x, 0) \quad (3.5)$$

Зная форму смещения берегов трещин при статическом приложении нагрузки (2.7) и (2.8) и характер поведения перемещения у концов трещин при динамическом действии нагрузки (3.3), (3.4), выбираем разложение неизвестной функции  $v^*(x_1, 0)$  в виде

$$\begin{aligned} v^*(x_1, 0) &= \frac{\sigma_0 b}{2(1-\epsilon^2)\mu} \sum_{n=0}^N A_n \varphi_n \\ \varphi_0(x_1) &= \frac{(1-x_1^2)^{\frac{1}{2}} (x_1^2 - \kappa^2)^{\frac{1}{2}}}{|x_1|} + \frac{E(k)}{K(k)} F(\gamma, k) - E(\gamma, k) \\ \varphi_n(x_1) &= \frac{(1-x_1^2)^{\frac{1}{2}} (x_1^2 - \kappa^2)^{\frac{1}{2}}}{|x_1|} x_1^{2n} \quad (n=1, 2, \dots, N) \end{aligned} \quad (3.6)$$

где  $A_n$  — неизвестные комплексные коэффициенты разложения. Аналогично

$$\frac{\partial v^*(x_1, 0)}{\partial x_1} = \frac{\sigma_0 b}{2(1-\epsilon^2)\mu} \sum_{n=0}^N A_n \theta_n, \quad \theta_n(x_1) = \frac{\partial \varphi_n(x_1)}{\partial x_1} \quad (3.7)$$

Подставляя разложения (3.6) и (3.7) в уравнение (2.1) и придавая переменной  $x_1$   $m$  дискретных значений в пределах  $\kappa < |x_1| < 1$ , приходим к системе из  $2m$  линейных алгебраических уравнений, решением которой будут значения действительных ( $\operatorname{Re} A_n$ ) и мнимых ( $\operatorname{Im} A_n$ ) частей искомых коэффициентов разложений.

4. Переидем к определению коэффициентов интенсивности напряжений. В случае установившихся периодических колебаний

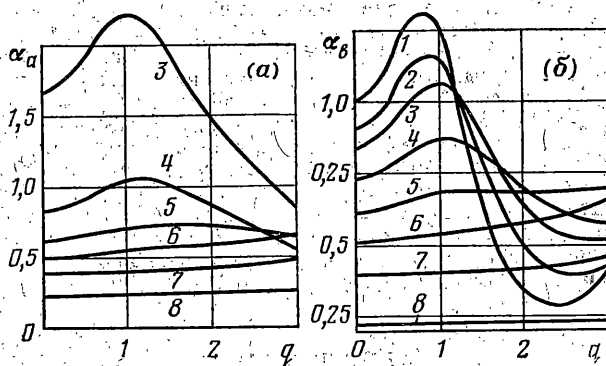
$$K(t) = K^* e^{i\omega t}, \quad K(t) \equiv K_I(t) \quad (4.1)$$

Так как  $K^*$  — комплексная величина, положим

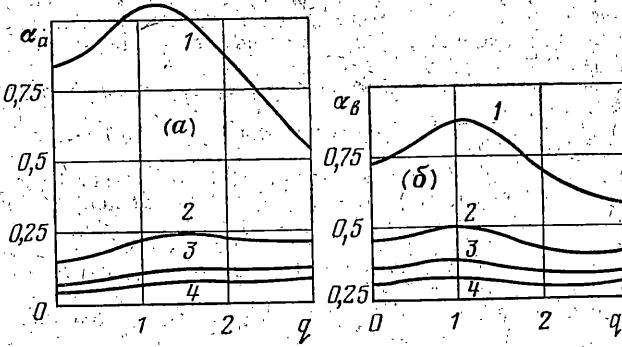
$$K^* = K_0 e^{-i\delta}, \quad K_0 = [(\operatorname{Re} K^*)^2 + (\operatorname{Im} K^*)^2]^{\frac{1}{2}}, \quad \delta = -\operatorname{arctg} (\operatorname{Im} K^*/\operatorname{Re} K^*) \quad (4.2)$$

Таким образом,  $K(t) = K_0 \exp[i(\omega t - \delta)]$ . Для практики более важна характеристика  $K_0$  — модуль комплексной величины  $K^*$ , ее в данном случае целесообразно представить так:  $K_0 = \alpha \sigma_0 (\pi b)^{\frac{1}{2}}$ .

Получив в результате решения системы линейных уравнений значения коэффициентов разложения и используя формулы (3.3), (3.4), находим



Фиг. 2



Фиг. 3

величины действительных и мнимых частей комплексной амплитуды коэффициента интенсивности напряжений:  
у внешних концов трещин

$$\operatorname{Re} K_b^* = \left[ k \sum_{n=1}^N \operatorname{Re} A_n + \frac{1-E(k)/K(k)}{k} \operatorname{Re} A_0 \right] \sigma_0 (\pi b)^{\frac{1}{2}} \quad (4.3)$$

$$\operatorname{Im} K_b^* = \left[ k \sum_{n=1}^N \operatorname{Im} A_n + \frac{1-E(k)/K(k)}{k} \operatorname{Im} A_0 \right] \sigma_0 (\pi b)^{\frac{1}{2}}$$

у внутренних концов трещин

$$\operatorname{Re} K_a^* = \frac{1}{\omega^{\frac{1}{2}}} \left[ k \sum_{n=1}^N \omega^{2n} \operatorname{Re} A_n + \frac{E(k)/K(k) - \omega^2}{k} \operatorname{Re} A_0 \right] \sigma_0 (\pi b)^{\frac{1}{2}} \quad (4.4)$$

$$\operatorname{Im} K_a^* = \frac{1}{\omega^{\frac{1}{2}}} \left[ k \sum_{n=1}^N \omega^{2n} \operatorname{Im} A_n + \frac{E(k)/K(k) - \omega^2}{k} \operatorname{Im} A_0 \right] \sigma_0 (\pi b)^{\frac{1}{2}}$$

На основании изложенной в данной работе методики вычисления динамических коэффициентов интенсивности напряжений был составлен пакет прикладных программ для ЭВМ серии ЕС, с помощью которого были произведены расчеты для пяти вариантов распределения нагрузки по длине трещин:  $s(x)=1$ ,  $s(x)=x^2$ ,  $s(x)=x^4$ ,  $s(x)=x^6$ ,  $s(x)=1+\cos x$ .

Некоторые результаты расчетов для случая плоского напряженного состояния приведены на фиг. 2, 3, где  $\alpha_a$  относится к внутренним, а  $\alpha_b$  — к внешним концам

трещин. Упругие свойства материала характеризуются коэффициентом Пуассона  $\nu=1/3$ . Кривые 1–8 на фиг. 2 соответствуют  $\kappa=0; 10^{-4}; 10^{-2}; 0,1; 0,3; 0,5; 0,7; 0,9$ ; при  $s(x)=1$ , а кривые 1–4 на фиг. 3 —  $s(x)=1, x^2, x^4, x^6$  на  $\kappa=0,1$ .

Анализ решений показывает, что при уменьшении частоты нагружения ( $q \rightarrow 0$ ) получаются результаты, соответствующие статическому случаю нагружения. При сближении внутренних концов трещин ( $\kappa \rightarrow 0$ ) значения коэффициента интенсивности напряжений у внешних концов приближаются к значениям, полученным для одной трещины длиной  $2b$ . Имея решения для вариантов распределения нагрузки по длине трещин:  $s(x)=x^{2i}$ , можно получить решение практически для любой формы нагрузки (симметричной относительно осей  $x$  и  $y$ ). Так, например, решение для случая  $s(x)=1+\cos x$ , полученное в результате решения системы линейных уравнений, совпадает с полученным суперпозиций решений для  $s_i(x)=x^{2i}$  с коэффициентами, соответствующими коэффициентами разложения функции  $1+\cos x$  в ряд по четным степеням  $x$ .

## ЛИТЕРАТУРА

1. Панасюк В. В., Саврук М. П., Дацышин А. П. Распределение напряжений около трещин в пластинках и оболочках. Киев: Наук. думка, 1976. 443 с.
2. Sih G. C., Loeber J. F. Wave propagation in an elastic solid with a line discontinuity or a finite crack.— Quart. Appl. Math., 1969, v. 27, No. 2, p. 193–213.
3. Партон В. З., Кудрявцев Б. А. Динамическая задача для плоскости с разрезом.— Докл. АН СССР, 1969, т. 185, № 3, с. 541–544.
4. Партон В. З., Морозов Е. М. Механика упругопластического разрушения. М.: Наука, 1974. 416 с.
5. Партон В. З., Перлин П. И. Методы математической теории упругости. М.: Наука, 1981. 688 с.
6. Itou S. Diffraction of antiplane shear waves by two coplanar Griffith cracks in an infinite elastic medium.— Internat. J. Solids and Struct., 1980, v. 16, No 12, p. 1147–1153.
7. Бородачев Н. М., Кольцов В. А. Динамические коэффициенты интенсивности напряжений у концов двух коллинеарных трещин продольного сдвига.— Проблемы прочности, 1982, № 7, с. 31–34.
8. Бейтмен Г., Эрдейи А. Таблицы интегральных преобразований. Т. 1. М.: Наука, 1969. 343 с.
9. Фелсен Л., Маркувиц Н. Излучение и рассеяние волн. Т. 2. М.: Мир, 1978. 555 с.
10. Гринченко В. Т., Мелецко В. В. Гармонические колебания и волны в упругих телах. Киев: Наук. думка, 1981. 283 с.
11. Вычислительные методы в электродинамике./Под ред. Р. Митры. М.: Мир, 1977. 485 с.
12. Гахов Ф. Д. Краевые задачи. М.: Физматгиз, 1963. 639 с.
13. Бейтмен Г., Эрдейи А. Таблицы интегральных преобразований. Т. 2. М.: Наука, 1970. 327 с.
14. Градштейн И. С., Рыжик И. М. Таблицы интегралов, сумм, рядов и произведений. М.: Наука, 1971. 1108 с.
15. Cooke J. C. The solution of triple integral equations in operational form.— Quart. J. Mech. Appl. Math., 1965, v. 18, No. 1, pt 1, p. 57–72.
16. Бородачев Н. М. Об одном классе решений тройных интегральных уравнений.— ПММ, 1976, т. 40, № 4, с. 655–661.

Киев

Поступила в редакцию  
20.VII.1982